

粤中实验区中尺度扰动分析

广东省热带海洋气象研究所

一九八〇年十二月

粤中实验区中尺度扰动分析

王 莹 洞

粤中中尺度分析，近年来已有不少著述，但专题研究尚未深入探讨过弄清它的活动规律，进一步解决暴雨预报问题的差距，还须作艰苦细致的工作，基于上述的认识，本文拟从三年来华南汛期暴雨试验获得的资料，对粤中中尺度气压扰动发生发展源地与暴雨带分佈，天气尺度系统对中尺度扰动发展的影响，及其与暴雨之间的联系等方面进行探讨，冀图为暴雨短期预报提供有益的依据。

1977—1979年5—6月共有十次重大暴雨过程，它基本上概括了不同强度的冷空气对华南暴雨的直接和间接影响。暴雨过程日期有：

- <1> 1977年6月21—23日
- <2> 6月10—12日
- <3> 5月28—6月1日
- <4> 5月18—21日
- <5> 1979年6月9—11日
- <6> 5月26—28日
- <7> 5月11—15日
- <8> 1978年6月5—8日
- <9> 5月26—28日
- <10> 5月15—18日

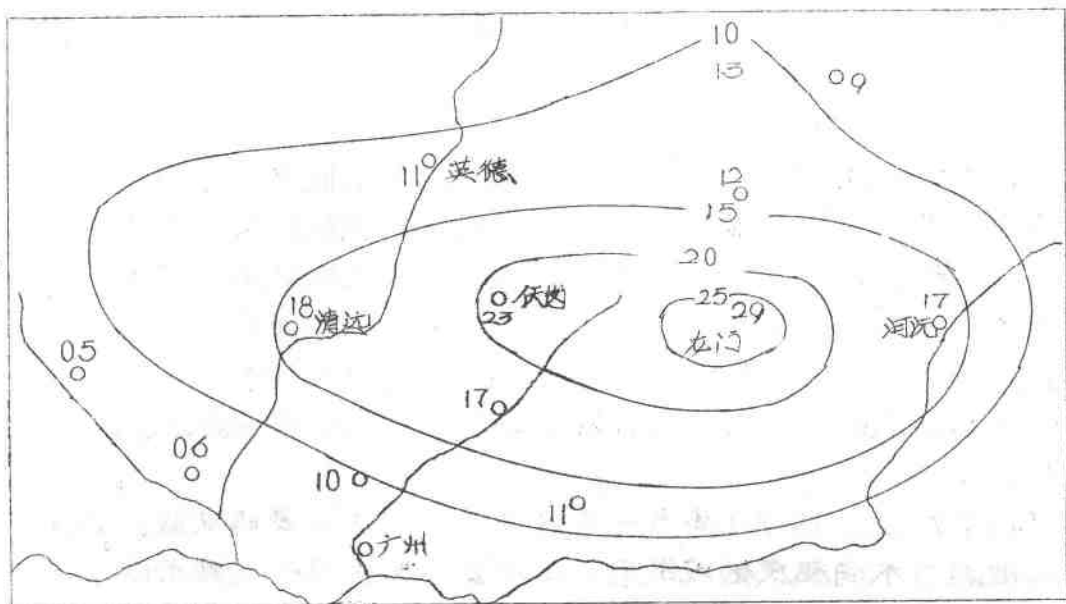
由于1977年空间佈局密度较高，因此在对比分析时，采用1978—1979年资料。用过程编号“>”代替过程时间。

一、粤中暴雨带和中尺度暴雨中心

(一) 暴雨带分佈

粤中试验区是广东主要暴雨区之一。从5—6月平均暴雨日

数(380毫米)分布图一可知。多暴雨中心位于沃岗、龙门一带，轴线成东西向，位于河源至清远一线。



图一 1951—76年5—6月平均暴雨日数

(二) 丰夷试验区暴雨区分布

试验区各县暴雨分布不均，在分析中尺度暴雨带时，发现强度强的雨团，多活动在 $23^{\circ}N\sim40^{\circ}$ — $24^{\circ}N\sim30^{\circ}$ 之间。在 $<5^{\circ}$ — $<10^{\circ}$ 过程中，如果取雨团强度 ≥ 20 毫米/小时，出现次数 ≥ 6 次作为多暴雨标准，则实验 14 县中基本可分成二类。

1，小于 6 次的县有四会、沃岗、花县、从化、坂城、翁源、连平，暴雨中心分布较为分散。

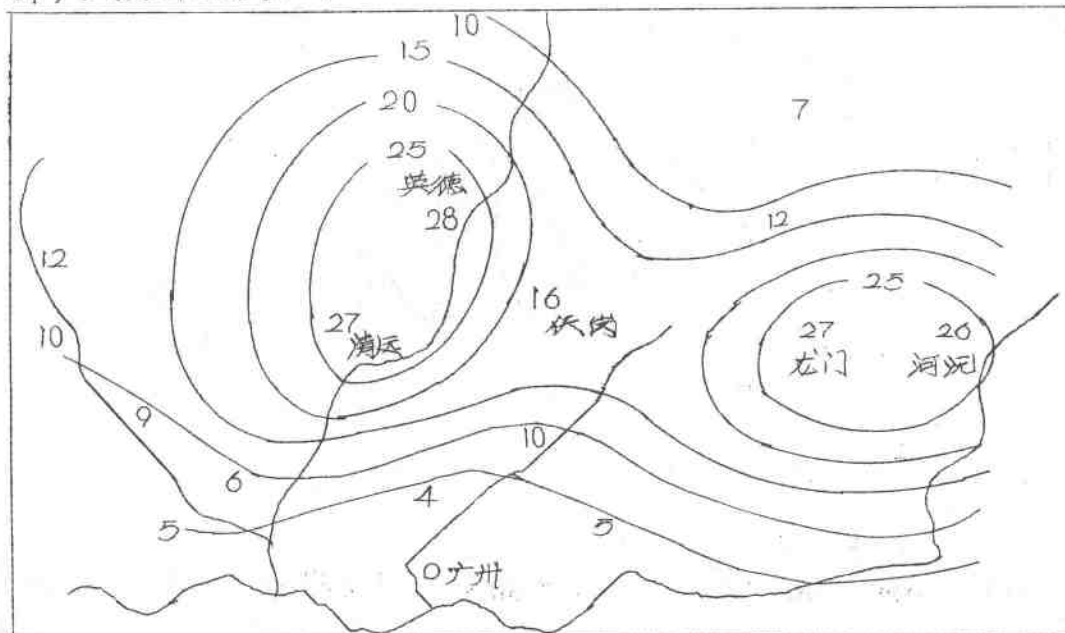
2， ≥ 6 次的县暴雨中心分布如表一，从表中的分布可知，多暴雨地带，主要发生在谷地和水网地区，它的分布与地形有密切联系。

表一 暴雨中心分佈

站名	分佈情况	最大雨量/小时
怀集	西北部 怀集、中洲、马宁一带	20—30 毫巴
广宁	东 部 江屯附近	60—70 "
清远	北 部 石津、沙河一带	40—50 "
	东北部 横石、大罗山附近	30—40 "
英德	西北部 大湾附近	40—50 "
	南 部 建江口、长湖附近	60—70 "
龙门	中 部 左潭、龙门一带	60—70 "
	西 部 南昆山附近	70—80 "
河源	北 部 斯天	30—40 "
	西 部 锡坊附近	30—40 "
	东北部 肇城	20—30 "
新丰	东 部 马头附近	50—60 "

(三) 中尺度雨团(>20 毫米/小时)总次数分布

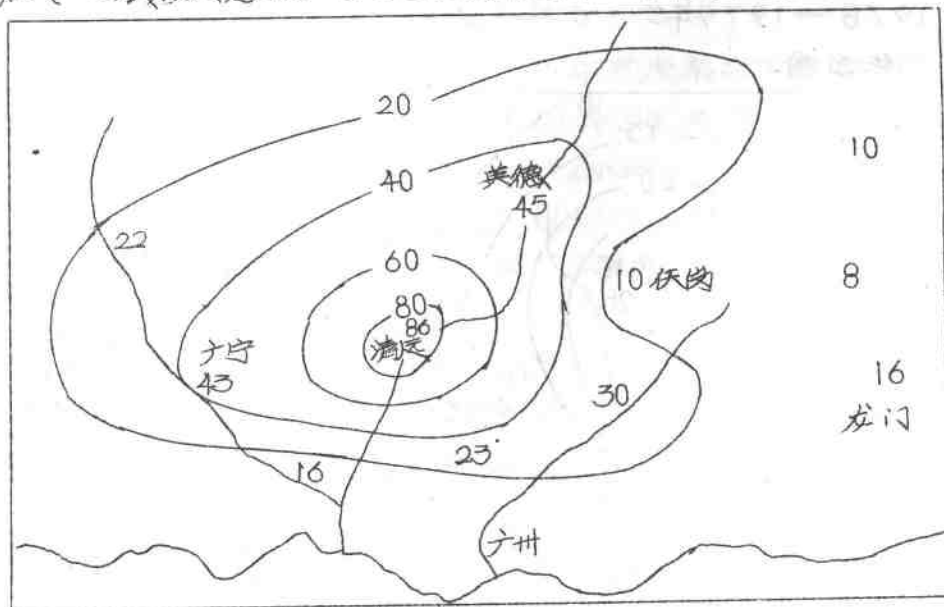
为了证实图中暴雨带是中尺度强雨团活动最频繁的地带，这里给出1978—1979年5—6月强雨团(>20 毫米/小时)统计资料，其分布如图二。

图二 暴雨过程 >20 毫米雨团总次数分布

图中可知最多强雨带中心，分别分布本龙门、英德附近，其轴线基本和历年暴雨带分布相接近（参看图一）。但雨轴西段较图一稍偏北，其原因在于图一的资料来源取自英德县站，事实上英德县的长湖，连江口，大湾等地的暴雨日比县城要多，故图二雨轴偏北。

（三）中尺度扰动源地与暴雨带

实验区周围中尺度扰动比较活跃（已见前述）。下面仅就1978—1979年5—6月的6个过程进行分析，从22天479小时中，发现有379个扰动*活动，占总时次79%，平均每小时约有0.8个中扰动发生（尚有50个和降水有联系的，未达到统计标准未统计在内），扰动频数如此之高，无疑对暴雨发生发展有巨大的贡献。我们从实验区周围22共扰动运动的统计中，可以看到至实验区扰动分布源地（图三），它集中东北江下游的清远、英德、广宁一带。华南前汛期暴雨试验实践指出：中尺度扰动移动路径，大多以偏东移为主。而多暴雨区恰位于扰动源地的下游约100公里处（比较图一和三），表明它是扰动偏东移后（一般移速约30—50公里/小时），降水开始坛大的地带。



图三 中尺度扰动源地分布

*采用逐小时气压5级滑动平均求偏差，并规定 >0.2 毫巴以上连续二小时以上作为有扰动统计。

二 热带气旋发生发展的条件

(一) 水汽和稳定性。华南初夏受夏季风影响，粤中试验区位于珠江三角洲，盛行偏南风（表二）。对流层底层的流场^[4]有利于暖湿空气经实验区深入粤北，地面偏南风在迎风坡地带地狭口地形动力作用下，易于形成不稳定扰动，构成暴雨气候的环境场。

表二 韶关至台山5-6月各地最多风向频率

地名	最多风向			
	5月		6月	
韶关	C 34	S 18	C 35	S 20
英德*	C 42	S 14	C 43	S 13
乐昌*	C 35	SW 13	C 40	SW 13
清远*	C 31	S 8	C 34	S 9
广州	C 22	SE 17	C 24	SE 15
台山	S 25		S 25	

* 为试验区站点。

从对流层中下层稳定性参数“K指数”分析，得知在暴雨过程中，侵入实验区的潮湿不稳定中心，有来自广东沿海和由突破区西北方移入两类。它们在暴雨前12—24小时“K指数”即开始增大，不稳定曲线常横贯实验区。这里仅举云过程^[5]为例。表三为沿 113°E 22.0—25.5°N “K指数”时间演变，从表上可以看到潮湿不稳定轴，9日8时位于22.0—25.0°N，12小时后已移至实验区，继续并增大到10日20时，不稳定能量向实验区南北扩展，“K”值达35.7—36.8，这正是实验区暴雨发展最强烈之时（分析见下文）。本例不稳定能量所以能得到发泄，

与当时位于锋区南方的气流，在南支槽前发展^[2]促进水汽输送和不稳定性能量获得加强有关。

表三 气指数演变表

纬度 N	9日		10日		11日	
	0.8	20	0.8	20	0.8	20
25.0-25.5	31.0	30.3	34.5	35.8	26.5	24.3
23.5-24.5	33.7	35.0	36.2	36.8	32.2	30.8
22.0-23.0	36.0	34.8	35.5	35.7	35.0	34.8

箭头：潮湿不稳定，23.5—24.5°N代表实验区

(二) 天气尺度系统——锋面的使用

1. 锋前水汽输送、分析经验指云。锋过南岭山地，锋前水汽显著增强。我们分析锋凸放到韶关附近的暴雨过程得知，暴雨发辰前夕，暖湿空气以一次或一次以上经珠江口向北输送。例如过程(5)， $\Delta \theta_{se24}$ 和广州水汽质量表征值演变过程(图四)，在图上可以看到， $\Delta \theta_{se24}=0$ 等值线随时间向南移，10日14时以后移过韶关。锋前暖湿空气在2时已逐渐向北扩展。20时暖湿中心已移至实验区(清远)附近。从实验区附近广州水汽总向输送特征“F”的计算，也得到相同的结果。在9日20时至10日20时之间，对流层中层以下，水汽激扬，“F”最大值达到368.2，表明锋面南移过程，水汽水平输送和锋前辐合上升运动，使水汽在实验区凝聚并迅速增加。

2. 水汽长时段。暴雨发生发辰与水汽不断供应有密切联系，特别是暴雨发生前夕必须具备有足够的水汽。实验区(代表站清远)水汽长时间段平均来说，有73% 云现在20时。如果夜间(20-02时)和白天(0.8-14时)的 θ_{se} 比较，则 θ_{se} 在夜间增大也约56% (见图四)。实验区暖湿空气通过时段，和锋面逼近有关。锋西南移锋前高空缓平流相对加强，引起地面锋前低气压槽内气压不断下降，自沿海指向实验区的气压梯度，有利于暖湿空气涌进实验区。

图四 $\bar{\theta}_{se24}$ 和广州下层风速(过程<5>)

20 11-10月 14 8 2 20 14 8 2 20 时

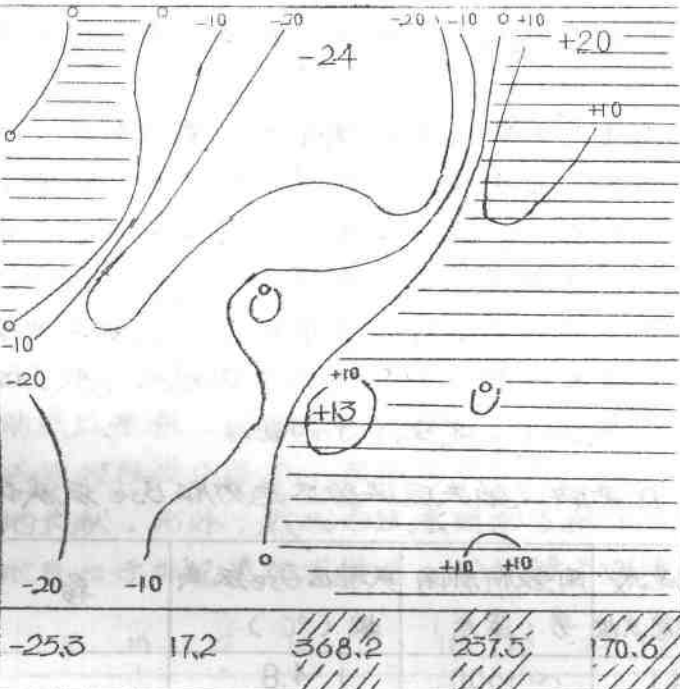
长沙

柳州

韶关

清远

上川

 F^* 

$$F^* = \vec{V}g_{1000} + \vec{V}g_{850} + 2\vec{V}g_{700} + 2\vec{V}g_{500} \text{ 本港通量表征值}$$

////指风速为正距平

表四 清远 $\bar{\theta}_{se}$ 距平变化

过程 编 号	$\bar{\theta}_{se}$ 距平变化			
	白天至夜间	白天至夜间	白天至夜间	白天至夜间
<1>	+	-		
<2>	0	+		
<3>	0	+	+	+
<4>	-	-	+	
<5>	+	+		
<6>	-	+		
<7>	+	-	-	-
<8>	+	-	+	
<9>	-	-	-	
<10>	-	-	-	

注： $\bar{\theta}_{se}$ 值：白天(08-14时)为79°C，夜间(20-02时)为76°C。

实验区最大降压有 80% 云现在，锋面移进郴州与韶关之间。且最大降压有 90% 云现在 20 时至次日 8 时。以上分析表明在夜间实验区水汽坡大，辐合场强，是粤中主要暴雨带发生在夜间的原因之一。

3. 过程雨量与水汽，暴雨量和水汽输送有关。为了观察锋区移过韶关后，实验区总雨量和水汽之间的关系，这里绘云表五，表中为 1978—1979 年的过程，从表中得知实验区 θ_{se} 坡减数 $> 4.8^{\circ}\text{C}$ ，过庭总雨量超过 600 毫米以上。过程 <8> 锋区至韶关锋消， θ_{se} 仅坡大 3°C ，总雨量小于 300 毫米。上述事实说明，过程水汽坡大愈多，强雨团总次数也愈多，总雨量愈大。至于过程 <9> 和 <10> 因锋区在韶关以北，这里不予讨论。

表五 暴雨锋过韶关后实验区雨量和 θ_{se} 坡减表

过程 编号	>20 毫米/ 小时总次数	雨级折算雨 量(毫米)	实验区 θ_{se} 坡减 数($^{\circ}\text{C}$)	备注
<5>	41	~1600	+ 4.8	
<6>	35	~1020	~ 8.3	
<7>	23	~ 620	~ 5.0	
<8>	9	~ 280	~ 3.0	<8> 过程锋至韶关消
<9>	1	~ 20	~ 7.0	<9> 和 <10> 过程锋区 在韶关以北
<10>	3	~ 60	- 1.7	

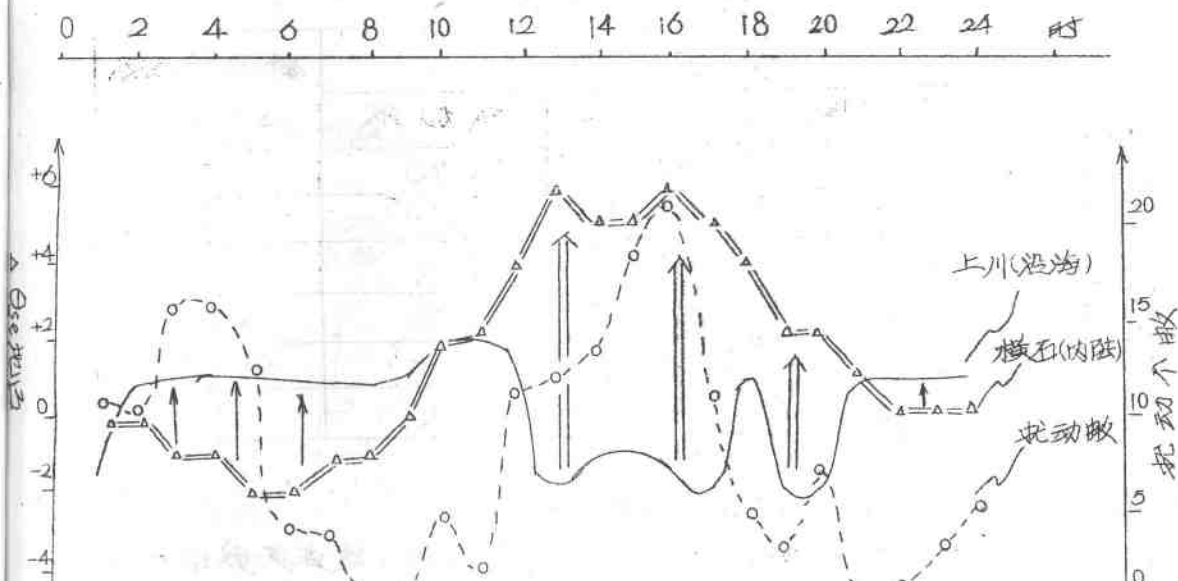
注 <20 毫米的雨团中心未统计在内。清远 θ_{se} 代表实验区水汽。

(二) 扰动发后集中时段与海陆效应

中尺度扰动发生发后对暴雨形成有直接贡献，而持续性发后^①的扰动尤为重要。因为中尺度扰动平均云现时间与海陆效应关系图，图上可以看到：扰动云现有两次高潮，即 3—4 时和 15—16 时，上述分布与海陆风活动较一致，我们从沿海的上川岛到“内陆”的横石^② 地凸相当位温距平 ($\Delta \theta_{se}$ 地凸) 变化，得知 21 时后，“内陆”湿度低于海上，此时湿度梯度指向海洋，有陆风形成，3 时开始坡

① “发后”指编号扰动生命史 > 3 小时

大，6时逐渐减弱；从扰动个数曲线（断线）亦作，可以看到扰动个数多寡与陆风的强弱相一致的事实。图中陆风加强时段是3—5时，扰动发后个数在12—16之间，从3—5时时段扰动发后总个数共44个。陆风减弱时段是6—9时，扰动发后个数在0—4之间，6—9时时段，扰动发后总个数仅8个。二者随时间变化的关系，可以认为扰动发后个数增加是陆风激发起主要作用。与此相反，午间海风形成，12时开始增大，17时后逐渐减弱。海风加强时段是12—17时，扰动发后个数在11—21个之间，12—17时时段扰动发后总数为75个；海风减弱时段是18—20时，扰动发后个数在3—7个之间，18—20时时段扰动发后总数为15个。从中只度扰动发后来看，在海陆风最强时段，扰动发后平均个数为11.8个，减弱时段为2.3个，差值为9.5个，这表明海陆效应对扰动发后的贡献。此外，我们也注意到动力的作用，例如锋面南移在夜间时段由于陆风迭加在锋后，使锋凸加速度南移，激发



图五，中尺度扰动云现时间与海陆效应关系 実矢 陆风
虚矢 海风

②横石庄清远县，距沿海约200公里，文中暂称内陆以区别于沿海。

中尺度扰动发只；而在白天时段扰动的发只与海风北上、海风坡和各地缺口激发的关联有关。

三 触发因子的讨论

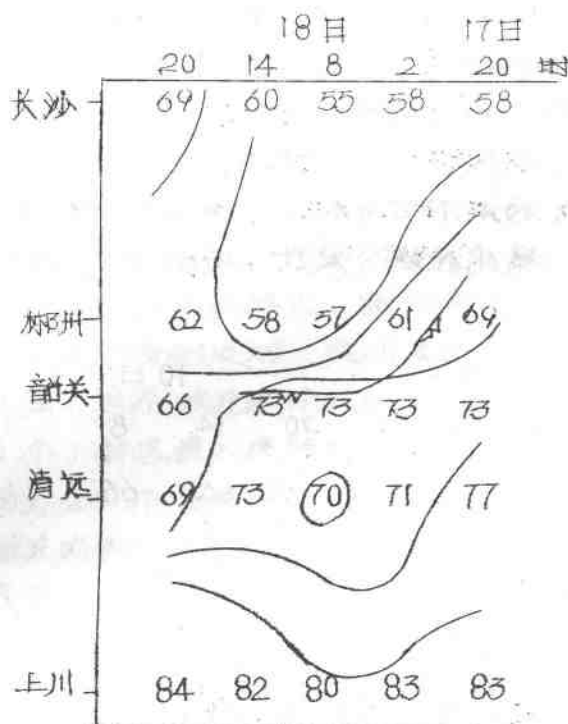
(一) 锋凸南移与扰动发只。为求云锋凸活动与中扰动发只间的联系，这里将云锋移过南岑山地扰动发只的比较表六。表中影响时段指锋到达地时段， $\Delta T^{\circ}\text{C}$ 指郴州至清远间温差。过程<5>、<6>、<7> 均属于锋凸移过实验区的过程，从锋凸影响前后对比，得知在锋激发出只，发只的扰动个数均有增加；而过程<8>属于锋至韶关附近减弱消散，故影响时段发只的扰动个数比锋消以前减少；过程<10>南移的锋静止于韶关北，在锋区不强的暖区里，扰动的增加，应认为热力影响为主，综合上述可知锋区强激发的扰动个数增加的事实。

表六 发只扰动比较表

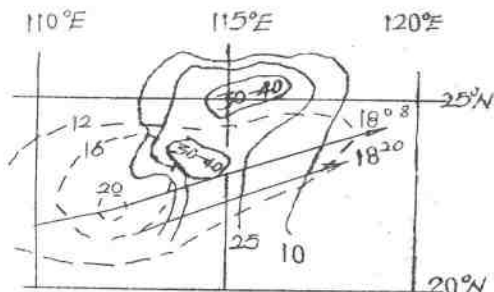
过程 编 号	距平比数			锋强度指标 $\Delta T^{\circ}\text{C}$
	影响时段	前一时段	增加数	
<5>	0.28	0.23	0.05	7
<6>	0.50	0.23	0.33	10
<7>	0.42	0.23	0.19	7
<8>	0.14	0.28	- 0.14	4
<9>	/	/	/	锋不显
<10>	0.35	0.08	0.27	4

(二) 低空急流过程中锋凸的作用

低空急流生消与暴雨发只的关联甚为密切，这在实践中已得到证实^[3]。我们分析中发现：有低空急流影响的暴雨过程里，暴雨带范围和中尺度暴雨中心强度发只共存，其锋凸强度有关，例如过程<10> 弱冷锋在韶关北部静止锋消（图六）。该过程确有低空流移过实验区（图七），并在急流北侧有暴雨发只，当时在急流北侧100-200公里范围内的数据分布（表七），属于有利对流发只和降水增大的敏感带。但由于该过程锋区不强，且很快消

图六 过程 $<10>17-18日Se时间剖面$

图七 急流与雨区配置

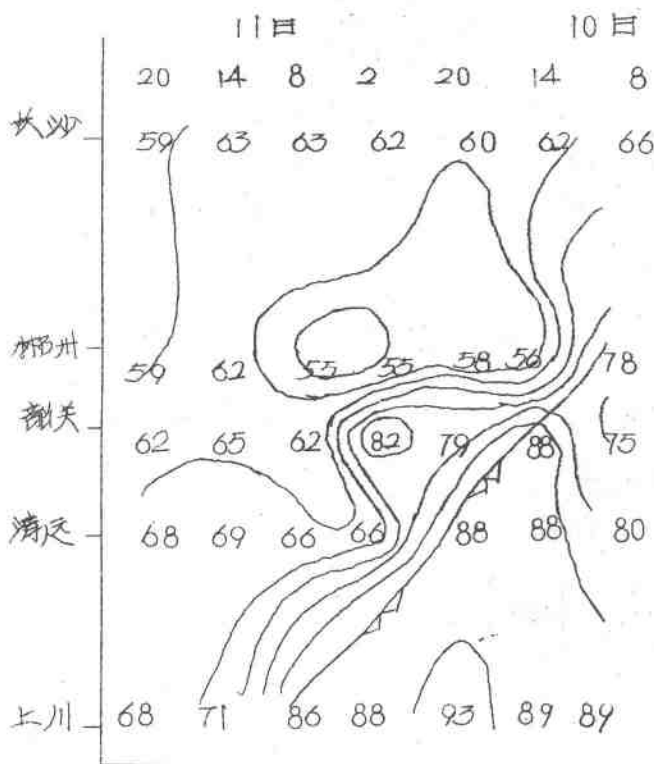


实矢量流
虚线风速
实线等雨带

表七 低空急流中心左侧散度(D)分布
($10^{-5}/秒$)

高度 毫巴	0	100	200	300	400
500	+0.7	+3.1	+2.2	-0.7	-0.1
700	-1.7	+1.0	-2.3	+2.4	+3.5
850	+0.6	-4.6	-3.2	-0.2	0.2

消，降水未得到发尼。0小时雨量仅达40—50毫米，个别为79毫米。而过程⁽⁵⁾冷锋较快速移过本省沿海（图八），当锋位于柳州至韶关间 $\Delta \theta_{se}$ 为 32°C ，比过程⁽¹⁰⁾的梯度约大 $16^{\circ}/100$ 公里（见图六）。从实验区中尺度雨团活动和雨强分析，过程⁽⁵⁾远超云过程⁽¹⁰⁾（将下节分析），通过两侧对比分析，可知低空急流暴雨过程，暴雨持续与发尼，冷锋触发和抬升作用有至重要的贡献。



图八 过程⁽⁵⁾10—11日 θ_{se} 时间剖面

(三) 能暴锋活动对中尺度扰动及暴雨间的联系

能暴锋与暴雨移动关系曾做简要分析^[3]。本文就能量锋强度与中尺度扰动发尼及暴雨等级的关係进行分析。表八为扰动与能暴锋关系的统计。从表中可知能暴锋 ($\Delta \theta_{se}^{\circ}\text{C}/10$ 公里) 较强的过程，该过程发尼的扰动个数较多。例如当能暴锋影响到柳州以南时，锋区较强的过程⁽⁵⁾至⁽⁷⁾，扰动较能暴锋影响前平均增加 18.3 个，正距平平均为 74 个，云加甚为显著；而锋区在

重庆实验区以北的过程〈8〉至〈10〉，扰动个数增加甚微，平均增加3个，负距平平均为3.3个。上述分析可知扰动发生后个数与能暴锋强及其实验区相对位置有关，也表明能暴锋激发作用的结果。

此外扰动活跃的过程，暴雨带里的强雨团中心相应增多。从表九中得知：除了过程〈9〉和〈10〉锋区不显或锋在渝关以北外，能暴锋移到南岭以南时，重庆实验区 >20 毫米的雨团中心6—12小时显然增多，且雨带增大。例如表中的〈5〉至〈7〉过程，当锋区最大梯度在南岭附近时，实验区的平均总雨量（仅计 >20 毫米/小时雨团，及个数并取雨级断面的总雨量）为180毫米，雨团平均为6个；锋区侵入实验区时，平均总雨量猛增至700毫米，雨团平均为20个。特别是锋区过渝关以后尤为明显。如果以锋区移到渝关南部，迅速减弱的过程〈8〉与上述过程比较，则在暴雨量和范围上有明显的区别（参见表五）。

表八 扰动与能暴锋关系

过 程 编 号	过 程 扰 动 日 平 均 数	能 暴 锋 产 生 时 段		能 暴 锋 强 度	备 注
		扰 动 数	距 平		
〈5〉	11.0	10	+5.0	3.1	
〈6〉	12.3	28	+15.7	2.5	
〈7〉	9.4	11	+1.6	2.8	
〈8〉	7.8	5	-2.8	2.3	锋过渝关消
〈9〉	5.3	2	-3.3	0.1	锋区不显.渝关北
〈10〉	5.8	2	-3.8	1.5	锋区静止.渝关北

表九 能量锋与暴雨

过程编号	<5>					<6>							
	时间	10:08	10:14	10:20	11:02	11:08	27:08	27:14	27:20	28:02	28:08	28:14	28:20
锋梯度	0.4	3.1	0.7	1.0	0.9	2.5	1.7	1.2	1.4	0.8	0.9	0.8	
区位置	柳州北	湘江北	清远北	清远南	清远南	柳州南	湘江南	湘江南	湘江南	湘江南	湘江南	湘江南	
雨级 次数	2/5	2/3	2/7	2/3	2/1	2/2	2/5	2/10	2/3	2/1	2/4	2/1	
	3/2	4/1	3/7	3/2		3/2	4/3	3/5	3/3			3/1	
			4/6	4/2			5/3	4/1				4/1	
			5/4	5/3				5/2					
			6/3	6/3				6/2					
			8/1					7/1					

过程编号	<7>						<8>						
	时间	13:02	13:08	13:14	13:20	14:02	14:08	6:08	6:14	6:20	7:02	7:08	7:14
锋梯度	1.5	1.8	2.8	1.7	1.4	1.0	0.4	2.3	2.0	1.4	0.8	1.0	
区位置	柳州北	湘江北	湘江北	湘江南	清远	清远南	柳州北	柳州南	柳州南	湘江南	湘江南	湘江南	
雨级 次数	2/2	2/1	2/2	3/1	2/10	2/4	2/1	2/2	2/4	2/3	2/5	3/1	
				4/1	3/3	3/2			3/2	3/1		4/1	
					4/3				4/1	4/1		5/1	
												6/1	

雨级：中尺度暴雨中心雨量级：

2、3、4分别为

2 = 20-29.9 毫米

3 = 30-39.9 "

4 = 40-49.9

余类推。

梯度： $^{\circ}\text{C}/10\text{Km}$

过程编号	<9>		<10>	
	时间	28:02	18:02	18:08
锋梯度	0.1	1.1	1.5	
区位置	柳州北	柳州南	柳州南	
雨级次数	2/1	2/1	2/2	

三、小结

冷锋移过南发，锋前来自南海的暖湿空气向北渗透，在实验区堆积。由于暖区低槽发尺辐合加强和锋区激发作用，加强水汽输送，为暴雨发生发展提供有利的环境场。

粤中中尺度扰动源地集中在北江下游的清远、英德、广宁一带。其下游龙门、乐山一带的暴雨带是中尺度扰动东传频繁触发的结果。发尺的扰动平均时段和锋区激发作用及海陆效应有密切的联系。

低空急流与锋凸同时存在的暴雨过程，暴雨发尺与凸和锋区强度有关。锋区强度与扰动发尺个数成正比。冷锋比锋消过程的暴雨范围和强度要大得多。

航易锋区斜压作用，触发中尺度扰动发尺导致雨强增强。特别是锋区过韶关以南， >20 毫米/小时的雨团中心及强度发尺尤为明显。

参考资料

- [1] 广东省灾害性天气概况(1951—76年) 广东省气象台
- [2] 广东暴雨带与中系统的分析(1980) 广东省气候组
- [3] 1977年5月31日粤中暴雨过程分析(1978) "
- [4] 亚洲和太平洋热带地区的对流层平均环流图 中央气象台

